

Результаты анализа показывают, что для данной выборки средняя абсолютная погрешность тормозного пути при отклонении фактической скорости от заданной скорости 120 км/ч на $\pm 5\%$ для груженого вагона составляет ± 8 м (относительная погрешность $0,5\%$), а для порожнего вагона абсолютная погрешность равна ± 1 м (относительная погрешность $\pm 0,1\%$). Для заданной скорости 100 км/ч вагона средняя абсолютная погрешность составляет соответственно $\pm 2,5$ м (относительная погрешность $\pm 0,2\%$) и $\pm 6,5$ м (относительная погрешность $0,9\%$). Причем тормозной путь при минимальной скорости для порожнего вагона оказался на 13 м меньше, чем при максимальной скорости диапазона.

Таким образом, при допускаемом отклонении фактической скорости на $\pm 5\%$ от заданной во время испытаний обеспечивается приемлемая точность определения тормозного пути.

Список литературы

1 ГОСТ 33597-2015. Тормозные системы железнодорожного подвижного состава. Методы испытаний. – Введ. 01.11.2017. – Минск : Госстандарт Респ. Беларусь; М. : Стандартинформ, 2015. – 23 с.

2 ГОСТ 34434-2018. Тормозные системы грузовых железнодорожных вагонов. Технические требования и правила расчета. – Введ. 01.01.2020. – Минск : Госстандарт Респ. Беларусь; М. : Стандартинформ, 2018. – 28 с.

3 ГОСТ 34681-2020. Вагоны пассажирские локомотивной тяги. Общие технические требования. – Введ. 01.11.2021. – Минск : Госстандарт Респ. Беларусь; М. : Стандартинформ, 2020. – 36 с.

УДК 625.033.4

ИССЛЕДОВАНИЕ РАБОЧИХ ПАРАМЕТРОВ РЕЗИНОМЕТАЛЛИЧЕСКИХ ИЗДЕЛИЙ ТЕЛЕЖЕК ЭЛЕКТРОПОЕЗДОВ

С. Л. САМОШКИН, А. А. ХОМЕНКО

АО НО «Тверской институт вагоностроения» (АО НО «ТИВ»), Российская Федерация

С. В. СПИРИДОНОВ

ООО «Завод резинометаллических изделий "ЧЕГЕТ"», г. Нальчик, Российская Федерация

Проведен комплекс испытаний резинометаллических изделий (РМИ), используемых в качестве демпфирующих элементов в конструкциях тележек электропоездов как отечественного, так и зарубежного производства.

РМИ в конструкциях тележек служат для снижения динамических нагрузок на несущие элементы тележек и кузова вагона, обеспечивая удобство для пассажиров, увеличивая сроки службы несущих конструкций вагона и, соответственно, благоприятно влияя на безопасность и надежность подвижного состава в целом. К РМИ предъявляются требования по жесткости и прочности при статическом и циклическом нагружении, сохранять свои демпфирующие свойства, в том числе твердость резины, в интервале эксплуатационных температур. Перед изготовителем РМИ – ООО «ЗРМИ "ЧЕГЕТ"» в рамках мероприятий по импортозамещению была поставлена задача разработки и изготовления определенной номенклатуры изделий тележек электропоездов, в том числе упора рамы тяговых двигателей, двух видов упоров горизонтальных различной жесткости и буфера поперечного. Были изготовлены опытные партии изделий. Для проверки их соответствия конструкторской документации было предусмотрено проведение испытаний, для чего изготовитель обратился в испытательный центр продукции вагоностроения АО НО «Тверской институт вагоностроения» (ИЦ АО НО «ТИВ»).

На первом этапе испытаний были разработаны и согласованы с изготовителем РМИ и заказчиком, владельцем конструкторской документации на тележки электропоездов, Программа и методика испытаний РМУ-00.00.000-01ПМ «Резинометаллические упоры», в которой был определен объем испытаний, место их проведения, требования к средствам испытаний, безопасности проведения и отчетности.

Общие виды и схемы нагружения этих изделий при испытаниях представлены на рисунке 1.

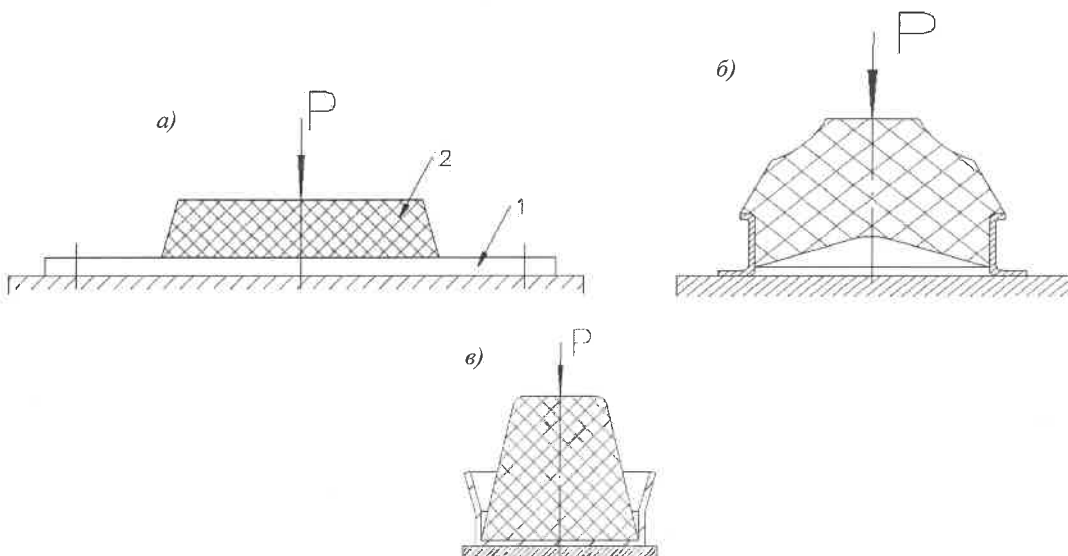


Рисунок 1 – Схемы нагружения упора рамы тяговых двигателей (а);
упора горизонтальной рамы тележки (б); буфера поперечного (в);
1 – металлическое основание; 2 – резиновый массив

Испытания проводились на испытательных машинах ЦД-40 и ПЦА-100, оснащенных специальными приспособлениями. Для контроля нагрузки применялись силоизмерительные датчики, а перемещений – индуктивные датчики перемещений WA-100. Контроль твердости проводили с применением прибора для измерения твердости материалов по Шору А. Кроме того, применялась термокамера с модулем МХТВ-8. Средства измерений были поверены, а испытательное оборудование – аттестовано в соответствующем порядке. Для ресурсных испытаний был изготовлен специальный стенд, позволяющий нагружать испытуемые изделия горизонтальными нагрузками с одновременным вертикальным сжатием образцов. При ресурсных испытаниях периодически контролировали температуру образцов термометром контактным цифровым ТК-5 (ТК-5.06) (в составе зонд ЗПИ 300), которая не должна была превышать 40 °С. Климатические условия проведения испытаний контролировались термогигрометром ИВА-6Н-Д.

При проведении жесткостных испытаний строились графики зависимостей деформации образцов от величины прилагаемой осевой нагрузки Р и определялись жесткости образцов на определенных интервалах нагрузки.

Циклическая горизонтальная нагрузка прикладывалась к образцам, собранным попарно. Для упоров резинометаллических рамы тяговых двигателей вертикальное поджатие составляло 4 мм, а перемещение стальной пластины, через которую нагружались образцы, в горизонтальном направлении, ± 4 мм с частотой 2,9 Гц. Базовое количество циклов нагружения 1 млн.

Для упоров горизонтальных рамы тележки вертикальное поджатие составляло 55 мм, а перемещение стальной пластины, через которую нагружались образцы, в горизонтальном направлении при первых 250 тыс. циклах нагружения составляло ± 10 мм, а затем увеличивалось до ± 15 мм. Частота нагружения 1,0 Гц. Базовое количество циклов нагружения 0,5 млн. Установка упоров горизонтальных рамы тележки представлена на рисунке 2.

Для буферов поперечных вертикальное поджатие составляло 5 мм, а перемещение стальной пластины, через которую нагружались образцы, в горизонтальном направлении при первых 250 тыс. циклах нагружения составляло ± 10 мм, а затем увеличивалось до ± 15 мм. Частота нагружения 1,0 Гц. Базовое количество циклов нагружения 0,5 млн.

Анализ результатов стендовых испытаний РМИ показал, что все изготовленные образцы соответствуют заданным требованиям КД, подтвердили стабильность показателей при ресурсных испытаниях и допускаются к установке на тележки.



Рисунок 2 – Установка упоров горизонтальных на испытательной машине при ресурсных испытаниях